

УДК 536.46:532.517.4

A. С. АСКАРОВА, Е. И. ЛАВРИЩЕВА, М. Ж. РЫСПАЕВА

## ЧИСЛЕННОЕ ИССЛЕДОВАНИЕ ВЛИЯНИЯ РАЗМЕРОВ УГОЛЬНЫХ ЧАСТИЦ НА ПРОЦЕСС ГОРЕНИЯ ПЫЛЕУГОЛЬНОГО ФАКЕЛА

На основе решения 3-мерных уравнений переноса в реагирующих течениях получены поля основных характеристик процесса горения в виде распределений температуры и концентрации газообразных ( $\text{CO}$ ,  $\text{CO}_2$ ) продуктов химических реакций горения при горении монодисперсного пылеугольного факела для различных диаметров пылеугольных частиц (60 и 90 мкм). Проведен сравнительный анализ результатов вычислительных экспериментов.

При исследовании широкого круга современных задач науки и техники моделирование тепло- и массообменных процессов приобретает особое значение и имеет огромное практическое применение. Основными инструментами теоретического исследования нелинейных процессов тепломассопереноса и движения среды с учетом разнообразных физических явлений, таких, как лучистый теплообмен, горение и др., является численный и вычислительный эксперимент. При этом математическое моделирование включает в себя не только разработку численных методов и проведение численных расчетов, но и глубокий анализ рассматриваемой модели, ее адекватности реальному процессу. Горение является сложным физико-химическим процессом, протекание которого необходимо анализировать в зависимости от влияния многочисленных физических и химических параметров реакции горения.

В работе изучено влияние диаметра частиц монодисперсной угольной пыли на процесс конвективного тепломассопереноса в реагирующих пыле-газовых потоках в областях реальной геометрии.

Вычислительные эксперименты в работе были проведены для двух размеров угольных частиц с использованием вычислительных методов на базе программного комплекса FLOREAN для моделирования течений, переноса тепла, горения и образования загрязняющих веществ [1]. Данный программный комплекс был адаптирован к казахстанским энергетическим объектам и позволяет проводить широкий круг вычислительных экспериментов.

В качестве исходных уравнений для моделирования турбулентного переноса в турбулентном

пылегазовом потоке с химическими реакциями используются уравнения Навье–Стокса, дополненные соответствующими уравнениями химической кинетики, уравнениями сохранения компонентов смеси с учетом влияния переменных свойств среды и размеров угольных частиц.

Обобщенное транспортное уравнение в тензорной форме для транспортной величины  $\phi$ :

$$\frac{\partial(\rho\phi)}{\partial t} = -\frac{\partial(\rho u_j \phi)}{\partial x_j} + \frac{\partial}{\partial x_j} \left[ \Gamma_\phi \frac{\partial \phi}{\partial x_j} \right] + S_\phi. \quad (1)$$

В зависимости от выбора  $\phi$  транспортное уравнение запишется в виде

закон сохранения массы:

$$\frac{\partial \rho}{\partial t} = -\frac{\partial(\rho u_j)}{\partial x_j}, \quad (2)$$

где  $\phi = 1$      $\Gamma_\phi = 0$      $S_\phi = 0$ ;

закон сохранения импульса:

$$\frac{\partial(\rho u_i)}{\partial t} = -\frac{\partial(\rho u_i u_j)}{\partial x_j} + \frac{\partial \tau_{ij}}{\partial x_j} - \frac{\partial p}{\partial x_i} + \rho g_i, \quad (3)$$

где  $\phi = u_i$      $\Gamma_\phi = \mu$

$$S_\phi = -\frac{\partial p}{\partial x_i} + \rho \cdot g_i + \frac{\partial}{\partial x_j} \left( \mu \cdot \left( \frac{\partial u_j}{\partial x_i} - \frac{2}{3} \cdot \delta_{ij} \cdot \frac{\partial u_l}{\partial x_l} \right) \right);$$

закон сохранения энергии:

$$\frac{\partial(\rho h)}{\partial t} = -\frac{\partial(\rho u_i h)}{\partial x_i} + \frac{\partial}{\partial x_i} \left( \mu \cdot \frac{\partial h}{\partial x_i} \right) + S_h, \quad (4)$$

где

$$\varphi = h \quad \Gamma_\phi = \frac{\mu}{Pr} \quad S_\phi = S_h. \quad (5)$$

При рассмотрении процессов теплообмена в технических реагирующих течениях в камерах сгорания теплообмен посредством излучения вносит наибольший вклад в полный теплообмен. В зоне пламени вклад лучистого теплообмена составляет до 90%. В работе для описания лучистого теплообмена применяется шестипоточная модель в декартовых координатах, предложенная Де Марко и Ф. Локвудом [3]. В этой модели распределение потока энергии излучения на соответствующих участках аппроксимируется с помощью степенных рядов и сферических функций. Распределение интенсивности по различным направлениям аппроксимируется с помощью степенного ряда Тейлора по телесному углу.

Источниковый член, связанный с лучистым теплопереносом, в уравнении баланса энергии (4) получается путем интегрирования суммарной интенсивности по телесному углу  $\Omega = 4\pi$ . Таким образом, имеем

$$S_{h,Str} = \frac{4\pi}{3} \cdot K_{abs} (B_1 + B_2 + B_3) - 4 \cdot K_{abs} \cdot \sigma \cdot T^4. \quad (6)$$

При определении интегральных коэффициентов поглощения  $K_{abs}$  необходимо принимать во внимание механизмы излучения газа и твердых частиц. Если существует термодинамическое равновесие между газом и частицами твердого вещества, то излучение суспензии описывается путем сложения излучений пыли и газа. Таким образом, доля, вносимая газом и твердыми частицами, описывается суммой [4]:

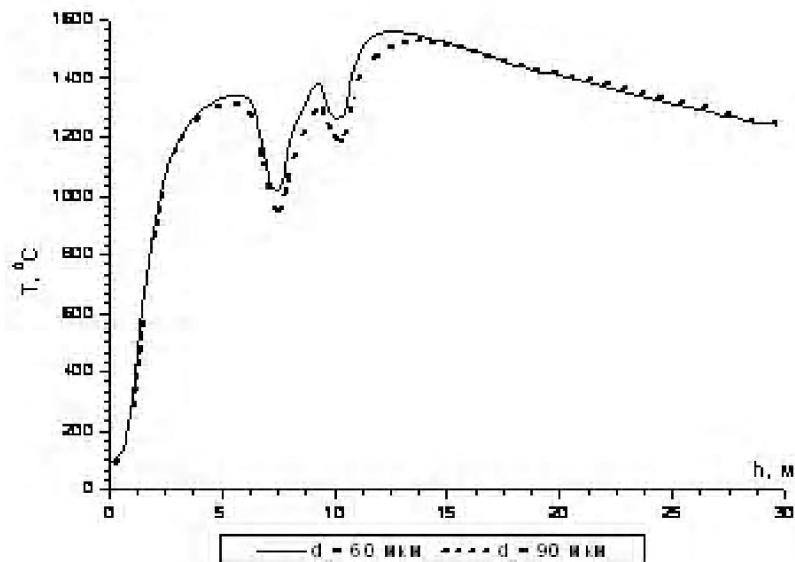


Рис. 1. Распределение температуры по высоте топочной камеры для  $d_p = 60$  мкм и  $d_p = 90$  мкм

$$K_{abs} = K_{abs,G} + \sum K_{abs,P,k}. \quad (7)$$

Если в реагирующих течениях содержатся вещества в твердой фазе, необходимо учесть то, что влияние твердых частиц на теплообмен излучением может оказаться в несколько раз больше, чем влияние компонент в газовой фазе (водяной пар и диоксид углерода).

Для твердых частиц имеем

$$K_{abs,P,k} = X_{abs} \cdot \tilde{n}_{P,k} \cdot d_{P,k}^2 \cdot \frac{\pi}{4}. \quad (8)$$

Здесь  $\tilde{n}_{P,k}$  – число частиц в элементе объема. Коэффициент  $X_{abs}$  определяется экспериментально и для пылеугольного пламени  $X_{abs} = 0,85$  [4].

Закон сохранения отдельной компоненты реакции имеет вид

$$\frac{\partial(\rho c_\beta^*)}{\partial t} = - \frac{\partial(\rho c_\beta^* u_i)}{\partial x_i} + \frac{\partial}{\partial x_i} \left( \rho \cdot D_{c_\beta^*} \cdot \frac{\partial c_\beta^*}{\partial x_i} \right) + S_\beta, \quad (9)$$

где  $\phi = c_\beta^*$ ,  $\Gamma_\phi = \rho \cdot D_{c_\beta^*}$ ,  $S_\phi = S_\beta$ .

Результаты вычислительного эксперимента для твердых частиц различного диаметра приведены ниже.

На рис. 1 показано сравнение температурных полей в случае горения пылеугольного факела для различных диаметров частиц угольной пыли. Анализ данного распределения показывает, что в области горелок в случае горения мелких частиц ( $d_p = 60$  мкм) наблюдается более высокая температура. Однако по мере удаления от

области интенсивного горения температуры выравниваются.

На выходе из топочной камеры при использовании угольной пыли более грубого помола ( $d_p = 90 \text{ мкм}$ ) температура немножко повышается, что соответствует данным экспериментальных испытаний [7]. Исследования авторов [7] показали, что при увеличении среднего диаметра частиц наблюдается увеличение температуры газов на выходе из топки, что является следствием смещения ядра факела. Анализ экспериментальных данных, представленных в работе [7], показал, что при увеличении диаметра частиц смещается местоположение ядра факела, повышается протяженность зоны максимальных температур. При этом температура факела при сжигании более крупных частиц возрастает медленнее. Например, разность температур факела тонкой и грубой пыли в сечении  $x/D_a = 0,8$  составляет  $300^\circ\text{C}$ . Затягивание воспламенения, смещение и растянутость ядра факела при угрублении помола приводят к увеличению температуры в конце факела, причем разница в температуре газов на выходе из модельной топки составляет  $50\text{--}80^\circ\text{C}$  [7]. Это соответствует результатам проведенного численного моделирования.

При горении пылеугольного факела угольных частиц с  $d = 60 \text{ мкм}$  ядро факела смещается к центру топочного пространства в этом сечении камеры, а область высоких температур ( $T = 1395\text{--}1800^\circ\text{C}$ ) сужается к центру симметрии топочной камеры. Средняя температура в данном случае возрастает до  $1258,7^\circ\text{C}$ , в то вре-

мя как средняя температура в этом же сечении для угольной пыли с диаметром твердых частиц  $d = 90 \text{ мкм}$  равна  $1191,5^\circ\text{C}$ . Следовательно, горение мелких частиц происходит более интенсивно и с большим локальным выделением тепла.

На рис. 2 представлено распределение концентрации оксида углерода CO (кг/кг) по высоте камеры сгорания для двух исследуемых пылегазовых потоков. Видно, что максимумы концентрации угарного газа (CO) наблюдаются в центре топочной камеры, в области, где имеет место основное газообразование. По мере приближения к выходу оксида углерода CO реагирует с кислородом и происходит додоражие до диоксида углерода  $\text{CO}_2$ , причем в случае угольных частиц большего диаметра этот процесс идет менее интенсивно. В том и другом случае значения концентрации CO на выходе из топочного пространства существенно уменьшаются для двух исследуемых случаев.

Видно, что с уменьшением диаметра угольных частиц в центре топочной камеры увеличивается интенсивность образования CO. Однако по мере приближения к выходу концентрация CO уменьшается в сравнении со случаем горения более крупных частиц. Этот факт свидетельствует о положительном влиянии измельчения угольной пыли, так как уменьшение угарного газа на выходе из камеры сгорания является одной из экологических задач, стоящих сегодня перед энергетикой.

Распределение концентрации диоксида углерода  $\text{CO}_2$  (рис. 3) по высоте топочной камеры

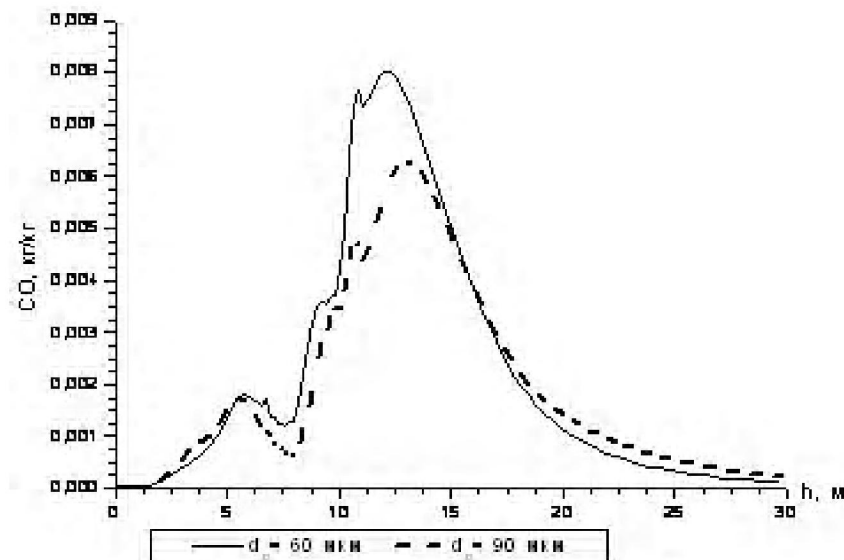


Рис. 2. Сравнительный анализ распределения концентрации оксида углерода CO по высоте топочной камеры для  $d_p = 60 \text{ мкм}$  и  $d_p = 90 \text{ мкм}$

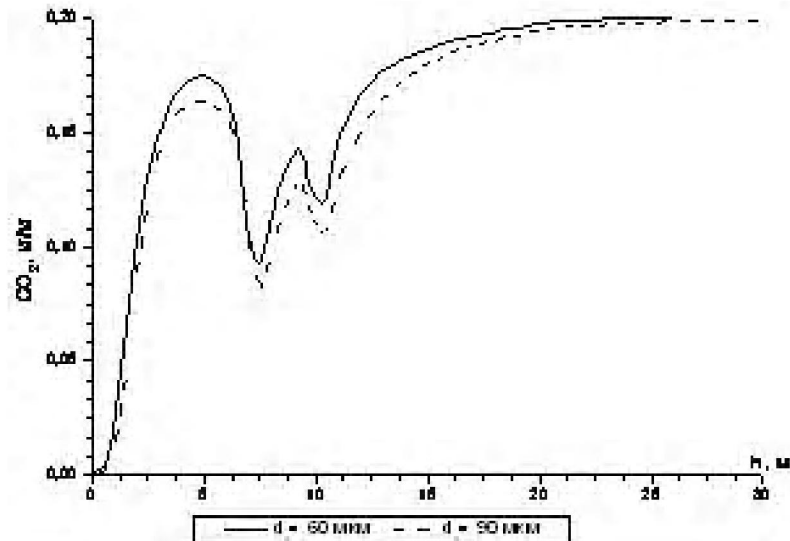


Рис. 3. Сравнительный анализ распределения концентрации диоксида углерода  $\text{CO}_2$  по высоте топочной камеры для  $d_p = 60 \text{ мкм}$  и  $d_p = 90 \text{ мкм}$

существенно отличается от распределения оксида углерода  $\text{CO}$ . Сравнение результатов численного эксперимента для двух случаев говорит о том, что основное образование  $\text{CO}_2$  при горении пылеугольных потоков с диаметрами частиц 60 и 90 мкм наблюдается в области расположения горелок, т.е. там, где находится максимальное количество топлива и окислителя.

Концентрация  $\text{CO}_2$  уменьшается в области горелок, а затем продолжает возрастать. Это находится в соответствии с распределением  $\text{CO}$ . Различие концентраций  $\text{CO}_2$  на выходе при горении частиц с различным диаметром практически незаметно. Тем не менее при сжигании угольной пыли с меньшим диаметром концентрация  $\text{CO}_2$  больше. Это говорит о том, что в этом случае большая часть  $\text{CO}$  догорает до  $\text{CO}_2$ .

В результате проведенного вычислительного эксперимента по сжиганию экибастузского угля в пылевидном состоянии в топочном пространстве на примере парового котла ПК-39 Ермаковской ГРЭС получено распределение основных характеристик процесса турбулентного горения пылеугольного факела ( $T$ ,  $\text{CO}$ ,  $\text{CO}_2$ ). Результаты позволяют оценить влияние размера угольных частиц на воспламенение, интенсивность горения пылеугольного факела и образование вредных пылегазовых выбросов в атмосферу, а также дать рекомендации по разработке новых максимально выгодных методов организации топочного процесса сжигания угля для повышения эффективности энергетических объектов и уменьшения выбросов вредных веществ в окружающую среду.

## ЛИТЕРАТУРА

1. Leithner R., Muller H., Heitmuller R.J. Dreidimensionale Simulation von Dampferzeugerbrennkammern einschließlich der  $\text{NO}_x$ -Schadstoffkinetik. Vortrag, VGB-Fachtagung Dampf-kessel und Dampfkesselbetrieb 1993, 11.02.93 Essen, 25.02.93 Nurnberg.
2. Weber K. Dreidimensionale Simulation der Gas-Feststoff-Stromung in kohlegefueerten Dampferzeugern // Fortschritt-Berichte VDI-Verlag. Dusseldorf, Reihe 6. 1999. N 415. S. 198.
3. De Marco A.G., Lockwood F.C.. A New Flux Model for the Calculation of Radiation in Furnaces. 1975. P. 184-196.
4. Zinser W. Zur Entwicklung mathematischer Flammenmodelle fur die Verbrennung technischer Brennstoffe // Fortschritt-Berichte VDI-Verlag. Dusseldorf, Reihe 6. 1984. N 171. S. 191.
5. Колмогоров А.Н. Уравнения турбулентного движения несжимаемой жидкости // Известия АН СССР. 1942. №6(1). С. 56-66.
6. Аскарова А.С., Мажренова Н.Р. Экологические проблемы топливно-энергетической отрасли Казахстана и нетрадиционные пути их решения // Алматы: Қазақ университеті, 1997. 202 с.

## Резюме

Әр түрлі диаметрлі бөлшектердің (60 және 90 мкм) бірдисперсті шаңтозаңды жану алауы кезіндегі онім реакцияларының газтәрізді концентрациясы мен ( $\text{CO}$ ,  $\text{CO}_2$ ) температураларының таралуында эсер ететін ағыс тасымалының 3 өлшемді тендеуін шешкендегі жану үрдісінің еріс сипаттамалары алынды. Есептелген тәжірибелердің нәтижелеріне салыстырмалы талдау жүргізілді.

## Summary

The fields of main characteristics of combustion process in the form of distributions of temperature and concentrations of gaseous chemical reaction products ( $\text{CO}$ ,  $\text{CO}_2$ ) during the combustion of the monodispersed coal dust torch for various coal-dust diameters of particles (60 and 90 micron) were obtained on the basis of the solution for the three-dimensional transport equations in the reactive flows. The comparative analysis of the results of the computational experiments was carried out.

КазНУ им. аль-Фараби,  
г. Алматы

Поступила 18.10.05г.